



اثر زاویه براده و سرعت برشی ابزار روی نیروهای برشی در فرآیند خانکشی با استفاده از مدل‌سازی المان محدود

محمد کاظمی نصرآبادی^{۱*}، علی نوری^۱، سید مرتضی حسینی^۲

۱- استادیار، مهندسی مکانیک، دانشگاه هوانی تهران

۲- کارشناس، مهندسی مکانیک، دانشگاه هوانی تهران

kazemi@ssua.ac.ir، ۰۲۸۴۶۷۳۴۱۱

چکیده

فرآیند خانکشی عملیات براده‌برداری خاصی است که به وسیله ابزارهایی به نام تیغه‌ها یا سوزن‌های خانکشی با دندانه‌های برندۀ متوازن و با اندازه‌های در حال افزایش اجرا می‌شود و ابزار تراش اجراء از مسیر معینی که براش در ظرفه شده عبور کرده و قطعه کار ساخته می‌شود. در فرآیند خانکشی نرخ براده برداری بالا است بنابراین نیروهای برشی نیز زیاد است. با توجه به این که تعییر مکان‌های زیاد در اثر نیروهای برشی زیاد وجود می‌آید، این فرآیند ممکن است باعث ایجاد خطاهای سطحی زیادی گردد. به همین علت باید توجه دقیقی به طراحی و تحلیل هندسه ابزار خانکشی و همچنین شرایط فرآیند لحاظ نمود. از اینجا که با استفاده از تجهیزات جانی و همچنین میز ماشین خانکشی نمی‌توان به راحتی دینامومتر را روی آن نصب کرد به منظور محاسبه نیروهای از مدل‌سازی المان محدود می‌توان استفاده نمود. در این تحقیق شبیه‌سازی فرآیند خانکشی در محیط نرم‌افزار ABAQUS انجام می‌گردد. پس از مدل‌سازی فرآیند، اثر پارامترهای زاویه براده و سرعت برشی نیروهای برشی مورد بررسی قرار می‌گیرد.

*کلید واژگان: فرآیند خانکشی، نیروهای برشی، زاویه براده، سرعت برشی

The effect of tool rake angle and cutting speed on cutting force during broaching process by using Finite Element Modeling

Mohammad Kazemi Nasrabai^{1*}, Ali Noori¹, Seyed Morteza Hosseini²

Department of aerospace Engineering, shahid sattari air University, Tehran, Iran

* P.O.B. 138467 34 11, Tehran, Iran, kazemi@ssua.ac.ir

ABSTRACT

Broaching is a specific method of removing metal by tools that have successively increasing cutting edges, the part is made through tool moving in a certain path. The cutting force is high as a result of high removal rate in the broaching process. The process may have too many surface errors since high displacement arose by this cutting force. For this reason, proper attention should be paid in the broaching tool design, geometry analysis and the process conditions. Considering the broach machining table and accessories, the dynamometer installation is complicated. Therefore, the finite element modeling can be used for evaluating the cutting force. In this study, the simulation of broaching process is done using ABAQUS Software. After modeling the process, the effect of rake angle and cutting speed parameters on cutting forces are investigated.

Keywords: Broaching Process, Cutting Forces, Cutting Speed, Rake Angle.

نیروهای برشی در فرآیند شیارتراشی و قلاویزکاری مقایسه نمودند. سازماندهی و همکاران [۳] یک مدل نیرویی برای خانکشی را بر مبنای آنالیز براده‌برداری مابین جهت مشخص نمودن نیروهای برشی در فرآیند خانکشی چرخدنده انجام دادند. مدل آن‌ها رابطه بین سطح تماس، مقدار بار و نیروهای برشی را نشان داد. ساجبو و همکاران [۴،۵] اثر پارامترهای خانکشی بر روی تغییر شکل ابزار و قطعه کار و نیز شکل نهایی هندسه خانکشی را مورد بررسی قرار دادند. بوداک [۶] کارآئی ابزار خانکشی برای براده‌برداری از قسمت انتهایی پره‌های توربین را مورد بررسی قرار داد.

در فرآیندهای ماشین‌کاری نظریه نرash کاری و فرزکاری پارامترهای سرعت برشی، پیشروعی و عمق برش به راحتی در طول عملیات قابل تغییر می‌باشد. بنابراین در صورتی که ابزار برشی به درستی انتخاب نشده باشد، به منظور اصلاح فرآیند می‌توان پارامترهای سرعت برشی، پیشروعی و عمق برش

۱- مقدمه

برای تولید قطعات با شکل‌های مختلف و پروفیل‌های پیچیده از عملیات ماشین‌کاری بطور گسترده‌ای استفاده می‌شود. یکی از عملیات ماشین‌کاری فرآیند خانکشی است که برای ماشین‌کاری رفع وسیعی از پروفیل‌های داخلی و خارجی پیچیده دایرمه‌ای و غیردایرمه‌ای نظری سوراخ‌ها، جای خارهای راه‌گاه‌ها و شیارهای روی دیسک‌های توربین مورد استفاده قرار گرفته است. در حالت عمومی فرآیند خانکشی یک فرآیند برش معمتمد است. خانکشی بوسیله فشار یا کشن یک ابزار مخروطی از میان قطعه کار برای براده‌برداری به منظور تولید پروفیل موردنیاز انجام می‌گیرد. از مزایای فرآیند خانکشی نسبت به دیگر فرآیندهای ماشین‌کاری قابلیت تولید بالاتر و دسترسی به کیفیت سطح بهتر است [۱].

گیلورمنی و همکاران [۲] نیروهای برشی در خانکشی ساده را با

Please cite this article using:

M. Kazemi Nasrabai, A. Noori, S.M. Hosseini, The effect of tool rake angle and cutting speed on cutting force during broaching process by using Finite Element Modeling, Modares Mechanical Engineering, Proceedings of the Advanced Machining and Machine Tools Conference, Vol. 15, No. 13, pp. 34-38, 2015 (in Persian)

برای ارجاع به این مقاله از عبارت ذیل استفاده نمایید:

در این تحقیق شبیه‌سازی فرآیند خانکشی در محیط نرم‌افزار آباکوس⁴ انجام می‌گردد. پس از مدل سازی مادر، اثر پارامترهای زاویه براده و سرعت پرتوشی بر روی نیروهای ماشین کاری مورد بررسی قرار می‌گیرد. مدل سازی المان محدود شامل مدل المان محدود ماده قطعه‌کار، ابزار پرش و جزئیات شبیه‌سازی در دو مین بخش از این تحقیق مطرح شده است. اثر زاویه براده و سرعت پرتوشی روی نیروهای پرتوشی موضوع ارائه شده در بخش سوم و چهارم از این تحقیق است. نهایتاً در آخرین بخش، نتیجه حاصل از این تحقیق ارائه می‌شود.

۲- مدل سازی المان محدود فرآیند خانکشی

اولین قدم در تعریف فرآیند خانکشی مدل سازی فرآیند است. نیاز اصلی برای پیش‌بینی نتایج یک فرآیند ماشین کاری پیش‌بینی نیروها می‌باشد. نیروهای ماشین کاری می‌تواند برای پیش‌بینی توان کشش در طول فرآیند، تنش‌ها روی ابزارهای خانکش و خطاهای شکل روی قطعات مورد استفاده قرار گیرد. جهات نیروهای پرتوشی وابسته به هندسه ابزار و جهت پرتوش است. در فرآیند خانکشی با توجه به این که طراحی ابزار برای پرتوش مایل مشکل بوده و طول پرتوش می‌باید غالباً ابزارها برای پرتوش متعامد طراحی شده‌اند. همان‌طور که در شکل ۳ نشان داده شده است، در پرتوش متعامد نیروهای اعمال شده فقط در دو جهت به نظر می‌رسند. اولین آنها نیروی پرتوش محاسبه F_t است که در جهت حرکت ابزار نسبت به قطعه کار می‌باشد و نیروی دوم نیروی پیش‌روی در جهت ضخامت براده F_d است [۹].

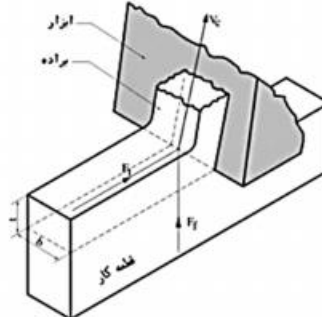
نیروهای پرتوشی با استفاده از سطح براده جدا شده از قطعه کار و ضرایب نیروی پرتوشی محاسبه می‌شوند. سطح براده از حاصل ضرب عرض براده⁵ (d) و عمق پرتوش⁶ (t) محاسبه می‌شود.

$$F_t = K_d t d \quad (1)$$

در این رابطه K_d ضریب نیرو و t نشان‌دهنده جهت نیروی پیش‌روی یا محاسبه است.

در این تحقیق یک ابزار خانکشی جای خار به‌طور دقیق آنالیز می‌شود و اثر پارامترهای زاویه براده و سرعت پرتوشی روی نیروهایی پرتوشی مورد بررسی قرار می‌گیرد. درای این کار از یک نرم‌افزار آنالیز پیشرفته به نام آباکوس استفاده شده است. زوایای یک لبه از ابزار به صورت نشان داده شده در شکل ۴ تعریف می‌شود.

یک لبه از ابزار که به فرم گوشه می‌باشد اساساً متشکل از دو سطح است. که از تقاطع آن دو سطح، لبه ابزار به وجود می‌آید. سطحی که براده با تکیه به آن از قطعه کار جدا می‌شود سطح براده نامیده می‌شود و سطحی که باید



شکل ۳ شماتیک فرآیند پرتوش متعامد [۹]

را تغییر داد اما در فرآیند خانکشی بجز سرعت پرتوشی پارامترهای دیگر را نمی‌توان در طول فرآیند تغییر داد. بنابراین طراحی صحیح ابزار پرتوشی نقش مهمی در کاهش هزینه‌ها و بهینه‌سازی فرآیند تولید دارد [۷].

هر ابزار خانکش دارای دو پروفیل جانبی و جلویی مختلف است. پروفیل جلویی با توجه به هندسه پرتوش تغییر می‌کند، در حالیکه پروفیل جانبی تقریباً در تمام ابزارهای خانکش مشابه است. شکل ۱ برخی از انواع پروفیل‌های جلویی ابزارهای خانکش را نشان می‌دهد.

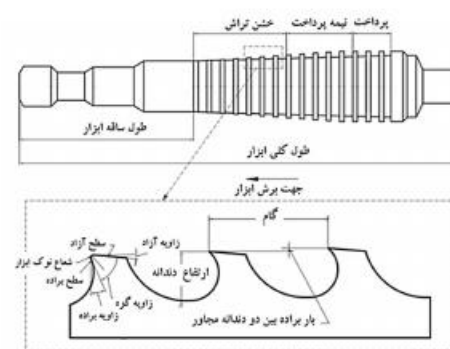
همان‌طور که در شکل فوق بدده می‌شود پروفیل جلویی وابسته به هندسه قطعه‌کار بوده و بر طبق آن باید طراحی شود. پروفیل جلویی ابزارهای خانکش از یک جای خار نکی تا یک شکل شش ضلعی تغییر می‌کند. و می‌تواند حتی موقع ماشین کاری شیارهای تعیینه شده روی دیسک‌های توربین پیچیده‌تر نیز شود. شکل ۲ هندسه پروفیل جانبی را برای یک ابزار خانکش نوعی نشان می‌دهد.

پروفیل جانبی ابزار خانکش بوسیله خصوصیات ابزار از قبیل طول گام (P)، ارتفاع دندانه (h_d)، ضخامت دندانه در سطح نوک لند^۱ (f_n)، زاویه براده^۲ α، زاویه آزاد^۳ β و پیش‌روی بر دندانه بیان می‌شود.

زاویه براده، زاویه بین سطح پرتوشی و جهت عمود به سطح قطعه کار است. اگرچه زوایای براده ثابت، منفی و صفر به‌طور معمولی در عملیات ماشین-کاری استفاده می‌شوند ولی زاویه براده در ابزارهای خانکش معمولاً ثابت است. زاویه براده ثابت ابزار پرتوش را تیز می‌کند، توان موردنیاز را کاهش می-دهد و به جریان براده روی سطح پرتوش کمک می‌کند. باید توجه شود که زوایای براده کوچک مقاومت دندانه و نیروهای پرتوشی را افزایش می‌دهند در حالی که زوایای پرتوش بزرگ نیروی پرتوشی و مقاومت دندانه را کاهش می-دهند. به منظور داشتن نیروهای پرتوشی مناسب و مقاومت کافی، زاویه براده باید در محدوده بهینه انتخاب شود.



شکل ۱ نمونه‌هایی از پروفیل‌های جلویی ابزارهای خانکش [۸]



شکل ۲ هندسه نوعی از پروفیل جانبی برای ابزارهای خانکش [۸]

4. Abaqus
5. with of cut
6. depth of cut

1. land
2. Rake Angle
3. Clearance Angle

پارامترهای A , B , C , M و n ثابت‌های ماده هستند که برای آلیاز تیتانیوم $Ti6Al4V$ در جدول ۱ نشان داده شده‌اند. همچنین T درجه حرارت ماده، E گرنش واقعی، $\dot{\epsilon}$ نرخ گرنش پلاستیک معادل که با نرخ گرنش رفربنس $\dot{\epsilon}_0$ نرمالایز شده، هستند. در شبیه‌سازی ابزار یک ماده صلب ایده‌آل و قطعه کار یک ماده الاستو-پلاستیک در نظر گرفته شده است. در طول فرآیند برش، قطعه کار ثابت در نظر گرفته شده و ابزار نسبت به آن دارای حرکت است. خواص ابزار برشی و ماده قطعه کار در جدول ۲ داده شده است.

معیار شکست دینامیکی جانسون کوک زمانی که معیار آسیب از ۱ تجاوز کند اتفاق می‌افتد. پارامتر آسیب استفاده شده در این شبیه‌سازی به صورت معادله (۳) تعریف شده است.

$$D = \sum \left(\frac{\Delta \bar{\epsilon}^{pi}}{\bar{\epsilon}_f^{pi}} \right) \quad (3)$$

در این رابطه $\Delta \bar{\epsilon}^{pi}$ نمو گرنش پلاستیک معادل و $\bar{\epsilon}_f^{pi}$ گرنش در شکست تحت شرایط جاری است. بر طبق قانون آسیب جانسون کوک گرنش تجمعی در هر نمو از تحلیل تصحیح شده و عبارت عمومی گرنش در میانه شکست $\bar{\epsilon}_f^{pi}$ فرض می‌شود که به طور جداگانه با معادله (۴) داده شده است.

$$\bar{\epsilon}_f^{pi} = [\alpha'_1 + \alpha'_2 \exp(\alpha'_3 \frac{P}{q})] [1 + \alpha'_4 \ln(\frac{\dot{\epsilon}}{\dot{\epsilon}_0})] \quad (4)$$

$$[\alpha'_5 \frac{T - T_r}{T_{melt} - T_r}]$$

در این رابطه d_1 تا d_5 پارامترهای شکست بوده و به صورت تجربی قابل محاسبه هستند. نسبت تنش فشاری به تنش ون میسر (P/q) تعریف شده است. شکست برشی فیزیکی زمانی که پارامتر آسیب به ۱ برسد اتفاق می‌افتد. پارامترهای شکست برشی آلیاز $Ti6Al4V$ در جدول ۳ داده شده است.

جدول ۱ ثابت‌های مدل مواد جانسون کوک برای آلیاز $Ti6Al4V$

A	B	n	C	M	T_m	T_θ
[MPa]	[MPa]				°C	°C
۸۶۲	۲۲۱	-۰/۲۴	-۰/۰۴	-۰/۰۸	۱۶۵	۲۵

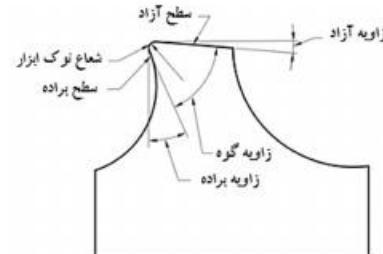
جدول ۲ مشخصه‌های مکانیکی - حرارتی ابزار و قطعه کار

پارامترهای مکانیکی و گرمایی	Ti6Al4V	(WG)	کاربید تنگستن*
چگالی (kg/m³)	۴۴۲۰	۱۱۹۰	
مدول یاتگ (GPa)	۱۱	۵۴	
نسبت پواسون	-۰/۳	-۰/۲۲	
گرمای ویره (J/Kg °C)	۵۰۰-۰/۵۲۵	۱۰۰	
هدایت حرارتی (W/m²°C)	۶۱۶	۵۰	

جدول ۳ پارامترهای قانون شکست جانسون کوک برای آلیاز $Ti6Al4V$

پارامترهای قانون آسیب	Ti 6Al-4V
گرنش شکست اولیه (d_1)	-۰/۰۹
فاکتور نمایی یا توانی (d_2)	-۰/۲۵
فاکتور سه بُعدی یا سه وجهی (d_3)	-۰/۵
فاکتور نرخ گرنش (d_4)	-۰/۰۴
فاکتور دما (d_5)	۲/۸۷

2. Tungsten Carbide



شکل ۴ شماتیک یک لبه از ابزار برشی

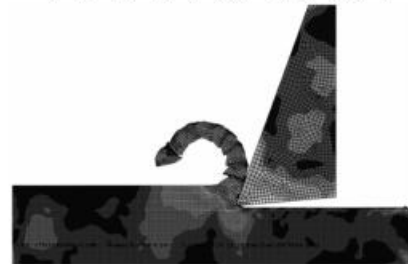
نسبت به سطح تراشیده شده قطعه کار آزاد باشد به سطح آزاد معروف است. یکی از متغیرهای بسیار مهم در براده‌برداری از روی قطعه کار شبیه سطح جلویی لبه برند است که در براده‌برداری متعامد نسبت به امتداد عمود بر سطح براده‌برداری شده سنجیده می‌شود و به نام زاویه براده معروف است. سطح آزاد روی عمل براده‌برداری نقشی ندارد ولی زاویه بین سطح آزاد و سطح تراشیده شده از روی قطعه کار که به نام زاویه آزاد خوانده می‌شود تأثیر مستقیم روی نرخ فرسودگی ابزار دارد. مجموع زوایایی براده، آزاد و گوه معادل ۹۰ درجه است [۱۰]. با توجه به این که فرآیند خانگی ویژگی تقارن خوبی با برش متعامد دارد در شبیه‌سازی، مدل متعامد دو بعدی بجای مدل سه بعدی مورد استفاده قرار می‌گیرد. مدل هندسی فرآیند برش در شکل ۵ نشان داده شده است.

برای ماده ابزار و قطعه کار از المان CPE4RT استفاده شده است. مدل اصطکاکی لغزشی بین سطح براده ابزار و براده براساس قانون اصطکاکی کولمب است. در این تحقیق به منظور کاهش زمان محاسبات شبیه‌سازی، ابعاد قطعه کار $1\text{mm} \times 1/2\text{mm}$ ، طول ابزار 125 mm ، میلی متر و ارتفاع ابزار 15 mm می‌باشد. پارامتر زاویه براده 10° , زاویه گره 15° , زاویه آزاد 20° , سرعت برش 15 m/min , عمق برش 0.5 mm و سرعت پردازش 45 m/min انتخاب شده است.

برای بررسی رفتار ماده و معیار جداسازی براده از مدل جانسون کوک [۱۱] که برای تغییر شکل ماده در سرعت بالا و نرخ گرنش بالا مناسب است، طبق رابطه (۲) استفاده شده است [۱۲].

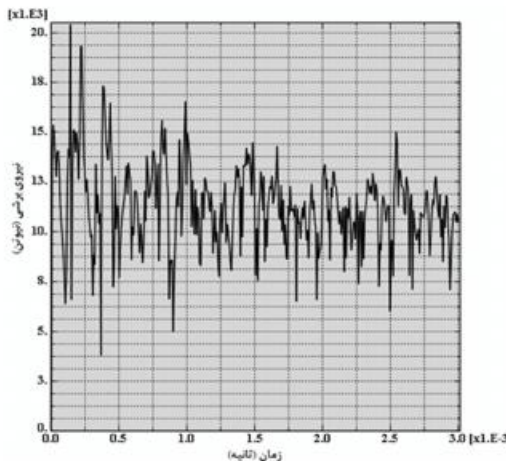
$$\sigma = (A + B\epsilon^n) [1 + C \ln \frac{\dot{\epsilon}}{\dot{\epsilon}_0}] [1 - (\frac{T - T_r}{T_m - T_r})^m] \quad (2)$$

ارتباط بین تنش، گرنش و حوزه‌های دمایی نوسط این رابطه تعریف می‌شود. معادله (۲) تنش واقعی را محاسبه می‌کند که برای آلیاز المان محدود در نرخ گرنش‌های بسیار بالا مناسب است. در این رابطه نرخ گرنش سختی در پرانتز اول، جریان تنش در نرخ گرنش‌های زیاد در پرانتز دوم و نرخ نرم شدگی مواد در اثر براده‌برداری در پرانتز سوم تعریف می‌شود.

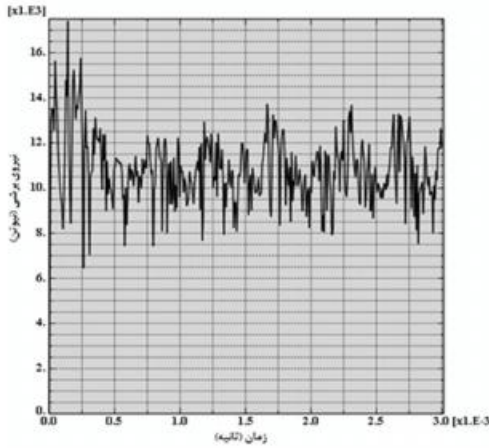


شکل ۵ شماتیک مدل هندسی فرآیند برش

1. Four-Node bilinear Displacement & Temperature



شکل ۸ دیاگرام نیروی برشی برای زاویه براده ۱۵ درجه و سرعت برشی ۱۵ متر بر دقیقه و عمق برش ۰.۵ میلی متر



شکل ۹ دیاگرام نیروی برشی برای زاویه براده ۲۰ درجه و سرعت برشی ۱۵ متر بر دقیقه و عمق برش ۰.۵ میلی متر

۴- انرژویه برشی روی نیروهای ماشین‌کاری
یکی از پارامترهایی که روی نیروهای برشی تاثیر دارد سرعت برشی است عموماً در فرآیند خانکشی سرعت برشی در مقایسه با دیگر فرآیندهای ماشین‌کاری تغییر تراش کاری و فرزکاری خیلی پایین است. در این بخش اثر سرعت برشی روی نیروهای برشی در فرآیند خانکشی با استفاده از نرم افزار آباکوس مورد بررسی قرار می‌گیرد.

به منظور بررسی اثر سرعت برشی روی نیروی برشی فرآیند شبیه‌سازی برای زاویه براده ۲۰ درجه، عمق برش ۰.۵ میلی متر و سرعت برشی ۱۵، ۳۰، ۴۵، ۷۵ متر بر دقیقه انجام شده است. شکل ۱۰ نتیجه حاصل از شبیه‌سازی برای مقدار زاویه براده ۲۰ درجه، عمق برش ۰.۵ میلی متر و سرعت برشی ۳۰ متر بر دقیقه را در نوک ابزار نشان می‌دهد. نیروی برشی در شبیه‌سازی گذرا نایابدار و بصورت نوسانی بوده و در شبیه‌سازی حالت یکنواخت، ثابت باقی می‌ماند. با توجه به نمودار نشان داده شده در شکل ۱۰، نیروی برشی اندازه‌گیری شده حدود ۱۰ KN است.

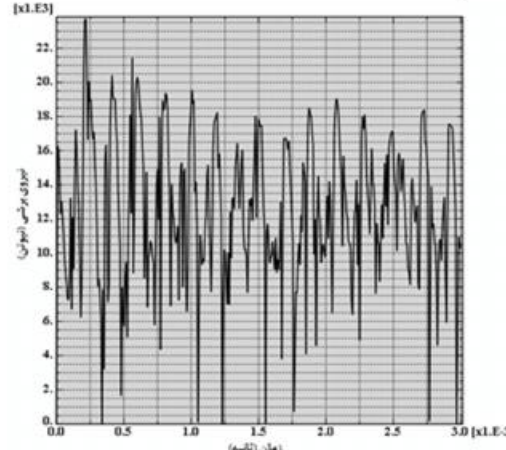
دیگر نتایج حاصل از شبیه‌سازی، بصورت نمودار نشان داده شده در شکل ۱۱ آمده است. همان‌طور که از شکل ۱۱ مشاهده می‌شود با افزایش سرعت برشی از ۱۵ به ۷۵ متر بر دقیقه نیروی برشی کاهش می‌باید.

۳- اثر زاویه براده روی نیروهای برشی

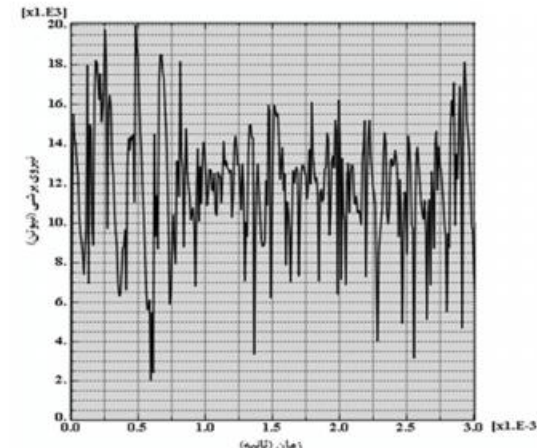
زاویه بین سطح برش و جهت عمود به سطح قطعه کار را زاویه براده می‌نامند. اگرچه زوایایی براده مثبت، منفی و صفر در عملیات ماشین‌کاری مورد استفاده قرار می‌گیرند اما زاویه براده در فرآیند خانکشی عموماً مثبت است. زاویه براده اثر مهمی روی نیروهای برشی دارد.

شبیه‌سازی برای عمق برش ۰.۵ میلی متر بر دقیقه، زوایایی برشی ۱۵، ۳۰، ۴۵، ۷۵ متر بر دقیقه و زوایایی براده ۵، ۱۰، ۱۵ و ۲۰ درجه انجام شده است. شکل‌های ۶ تا ۹ نتایج شبیه‌سازی برای سرعت برشی ۱۵ متر بر دقیقه، عمق برش ۰.۵ میلی متر و زوایایی براده ۵، ۱۰، ۱۵ و ۲۰ درجه را در نوک ابزار نشان می‌دهند.

قابل توجه ترین نتایج بدست آمده از شبیه‌سازی‌ها نشان می‌دهد که زاویه براده اثر مهمی روی نیروهای برشی دارد بطوریکه با افزایش زاویه براده برای همه سرعتهای برشی مورد بررسی نیروهای برشی کاهش می‌باید. از آنجاییکه زاویه براده مثبت‌تر باعث تولید زاویه برشی بالاتری می‌شود ابزار برشی به آسانی داخل قطعه کار نفوذ کرده و بابراین به کاهش نیروی برشی کمک می‌کند. نتایج حاصله گرایش مشابهی با نتایج ارائه شده توسط مراجع [۱۶، ۱۵] دارد.



شکل ۶ دیاگرام نیروی برشی برای زاویه براده ۵ درجه و سرعت برشی ۱۵ متر بر دقیقه و عمق برش ۰.۵ میلی متر

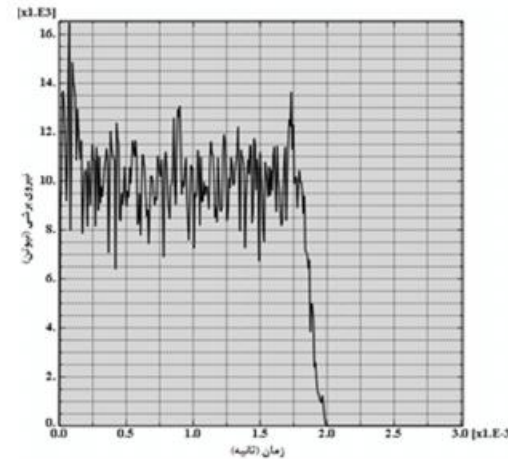


شکل ۷ دیاگرام نیروی برشی برای زاویه براده ۱۰ درجه و سرعت برشی ۱۵ متر بر دقیقه و عمق برش ۰.۵ میلی متر

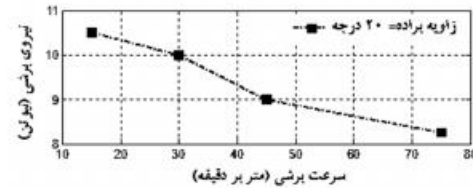
می دهد. در این حالت جریان براده ملایمتر و همچنین تغییر فرم پلاستیک پایین تری نیاز می شود. بنابراین تغییر در زاویه براده درجه مثبتی روی نیروهای برشی دارد. همچنین در صورت تغییر سرعت پرتوشی مثلاً از ۱۵ متر بر دقیقه تا ۷۵ متر بر دقیقه، نیروهای برشی نیز کاهش می یابند. نتایج حاصله گرایش مشابهی با نتایج ارائه شده توسط مراجع [۱۶، ۱۵] دارد.

۶- مراجع

- [1] Ertunga C, Ozelkan, OzkanOzturk, ErhanBudak, Optimization of Broaching Design , Industrial Engineering Research Conference, Proceedings, 2007
- [2] P. Gilormini, E. Felder, L. Tronchet, F. Leroy, F. Le Maitre, A comparative analysis of three machining processes: broaching, tapping and slotting, CIRP Annals-Manufacturing Technology, 33 (1984) 19-22.
- [3] J. Sutherland, E. Salisbury, F. Hoge, A model for the cutting force system in the gear broaching process, International Journal of Machine Tools and Manufacture, 37 (1997) 1409- 1421.
- [4] V. Sajeev, L. Vijayaraghavan, U. Rao, An analysis of the effects of burnishing in internal broaching, International Journal of Mechanical Engineering Education, 28 (2000) 163- 173.
- [5] V. Sajeev, L. Vijayaraghavan, U. Rao, Effect of tool-work deflections on the shape of a broached hole, International Journal of Mechanical Engineering Education, 28 (2000) 88.
- [6] E. Budak, Broaching process monitoring, in: Proceedings of Third International Conference on Metal Cutting and High Speed Machining, Metz-France, 2001, pp. 251- 260.
- [7] Sayeed Ali Hosseini, B. Sc., M. Sc., model based simulation of broaching operation: cutting mechanics, surface integrity and process optimization, A Thesis Submitted in Partial fulfillment of the Requirements for the Degree of Doctor of Philosophy, University of Ontario Institute of Technology, April 2013
- [8] F.D. Jones, D.T. Hamilton, C.L. Lucas, Broaching, The Industrial press, 1914.
- [9] E.Budak, Y. Altintas, and E.J. Armergo, Prediction of Milling Force Coefficients from Orthogonal Cutting Data, Trans. ASME Journal of Manufacturing Science and Engineering, 18: 216-224, 1996
- [10] Rajender Singh, Introduction to Basic Manufacturing Processes and Workshop Technology, 2006
- [11] Johnson G R and Cook W H., Fracture characteristics of three metals subjected to various strain rates, temperature and pressure Engineering Fracture Mechanics, 2 31-48, 1985
- [12] Iqbal S A, Mativenga P T and Sheikh M A, Characterization of machining of AISI 1045 steel over a wide range of cutting speeds, Part 2: evaluation of flow stress models and interface friction distribution schemes, Proc. of the Institution of Mechanical Engineers - Part B: Journal of Engineering Manufacture 221 917-926, 2007
- [13] Johnson, G. and Holmquist, T.: Test data and computational strengthen and fracture model constants for 23 materials subjected to large strain, high-strain rates, and high temperatures, Los Alamos National laboratory, p. 425, 11463-MS. (Cited on pages 9, 31, and 32.)
- [14] Johnson, G.R.: Strength and fracture characteristics of a titanium alloy (.06al, .04vr) subjected to various strains, strain rates, temperatures and pressure, Naval Surface Weapons Center NSWC, pp. 86, U-144, 1985. (Cited on pages xiii and 37.)
- [15] David Christian Bowes, Numerical Modelling of Ti6Al4V Machining: A Combined FEA and Unified Mechanics of Cutting Approach, March 2013
- [16] Santosh P. Rahane Sangamner, Prof. V. D. Wakchaure, Influence of Rake Angle and Cutting Speed on Residual Stresses Developed in the Cutting Tool During Orthogonal Cutting, International Journal of Engineering Research & Technology (IJERT), Vol. 3 Issue 3, March - 2014, ISSN: 2278-0181
- [17] E. Ceretti, P. Fallböhmer, W. T. Wu, and T. Altan, Application of 2D FEM to Chip Formation in Orthogonal Cutting, Journal of Materials Processing Technology, Vol. 59 (1996): 169- 181.



شکل ۱۰ دیاگرام تپروی برشی در فرآیند شبیه سازی براز زاویه براده ۲۰ درجه، سرعت برشی ۳۰ متر بر دقیقه و عمق برش ۰.۵ میلی متر

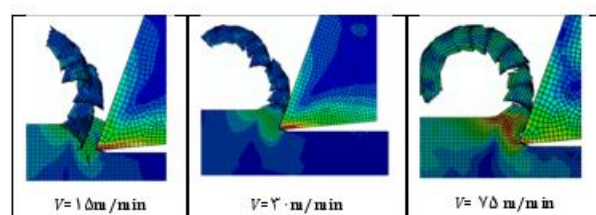


شکل ۱۱ تغییرات تپروی برشی با افزایش سرعت برشی

مدل شبیه سازی شده قادر به پیش بینی شکل گیری براده بصورت براده های دندانه ارها یا منقطع همانند ماشین کاری واقعی آبیار تیتانیوم است. شکل گیری براده در سرعت های برشی ۱۵، ۲۰، ۷۵ و ۰.۵ میلی متر بر دقیقه برای عمق برش ۰.۵ میلی متر و زاویه براده ۲۰ درجه در شکل ۱۲ نشان داده شده است. همان طور که در شکل ۱۲ مشاهده می شود شکل گیری براده در سرعت برشی ۷۵ متر بر دقیقه هموارتر است. لازم به ذکر است که سرتی ۱ و همکاران [۱۷] نیز شکل گیری براده های حلقوی را در سرعت های برشی بالاتر ارائه داده اند.

۵- نتیجه گیری

در این تحقیق اثر زاویه براده و سرعت پرتوشی روی نیروهای برشی در فرآیند خانکشی با استفاده از مدل سازی المان محدود در نرم افزار آباکوس مورد بررسی قرار گرفته است. نتایج شبیه سازی نشان می دهد که زاویه براده اثر مهی روی نیروهای برشی دارد به طوری که با افزایش زاویه براده مثلاً از ۵ درجه تا ۲۰ درجه برای همه سرعت های برشی مورد بررسی نیروهای برشی کاهش می یابد. برای زوایای براده بالاتر، زاویه برشی افزایش یافته و از برآورده ای داخل قطعه کار نفوذ می کند و در نتیجه نیروهای برشی را کاهش



شکل ۱۲ شکل گیری براده با عمق برش ۰.۵ میلی متر و زاویه براده ۲۰ درجه